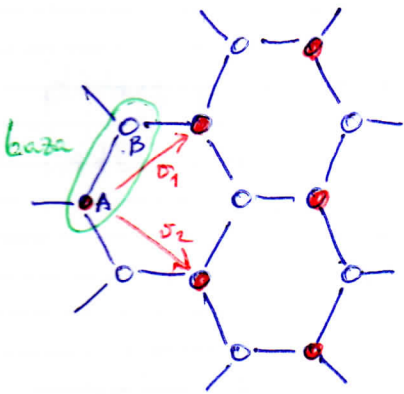


1) Rozwiązać model ciasnego wiązania w przypadku grafenu. Znaleźć zależność dyspersji dla tego problemu oraz sprawdzić czy dla tego materiału występuje przerwa energetyczna. Pokazać ~~przerwa energetyczną grafenu w punkcie~~ Zapisać hamiltonian grafenu w formie macierkowej rozwijając ją wokół go w pobliżu punkcie K w strefie Brillouina. Co mówi nam uzyskany wynik?

**Rozwiązanie:**



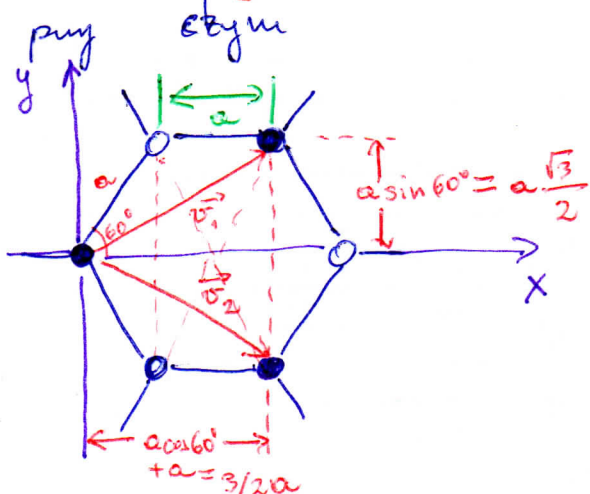
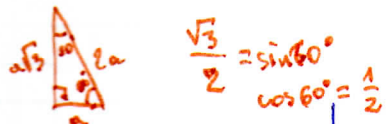
Grafen jest dwuwymiarowym kryształem zbudowanym z atomów węgla ustawionych w strukturę płaską miotłę.

Grafen posiada dwa niewirowane atomy tworzące bazę.

Struktura kryształowa = sieć + baza

Wektor translacji  $\vec{T}$  dla grafenu można przedstawić w postaci wektorów prymitywnych:

$$\vec{T} = n_1 \vec{a}_1 + n_2 \vec{a}_2, \quad n_1, n_2 \in \mathbb{Z}$$



długości wiązania:

$$a = 1,42 \text{ \AA}$$

$$\vec{a}_1 = \begin{pmatrix} \frac{3}{2}a \\ \frac{\sqrt{3}}{2}a \\ 0 \end{pmatrix}$$

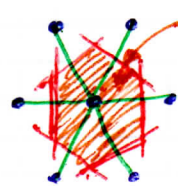
$$\vec{a}_2 = \begin{pmatrix} \frac{3}{2}a \\ -\frac{\sqrt{3}}{2}a \\ 0 \end{pmatrix}$$

wektory prymitywne

## Przypomnienie

I strefa Brillouina (BZ) jest komórką Wignera-Seitza w przestrzeni odwrotnej.

Periodyczność i symetria kryształu mają swoje odzwierciedlenie w I strefie Brillouina.



konstrukcja komórki Wignera-Seitzza

Konstruujemy wektory ze strefy Brillouina (BZ):

$$\vec{b}_i = 2\pi \epsilon_{ijk} \frac{\vec{v}_j \times \vec{v}_k}{\Omega_0}$$

$$\Omega_0 = |\vec{v}_i \cdot (\vec{v}_j \times \vec{v}_k)|$$

objętość komórki elementarnej

dodajemy wektor jednostkowy wzdłuż osi z, czyli

$$\vec{v}_3 = (0, 0, 1)$$

$$\Omega_0 = |\vec{v}_1 \cdot (\vec{v}_2 \times \vec{v}_3)| = \left| -\frac{3}{2} \frac{\sqrt{3}}{2} a^2 - \frac{3}{2} a \frac{\sqrt{3}}{2} a^2 \right| = \frac{3\sqrt{3}}{2} a^2$$

$$\vec{v}_2 \times \vec{v}_3 = \begin{vmatrix} \hat{i} & \hat{j} & \hat{k} \\ \frac{3}{2}a & -\frac{\sqrt{3}}{2}a & 0 \\ 0 & 0 & 1 \end{vmatrix} = \hat{i} \left( -\frac{\sqrt{3}}{2}a \right) - \hat{j} \left( \frac{3}{2}a \right)$$

$$\vec{b}_1 = 2\pi \frac{\vec{v}_2 \times \vec{v}_3}{\Omega_0} = \frac{4\pi}{3\sqrt{3}a^2} \begin{pmatrix} -\frac{\sqrt{3}}{2}a \\ -\frac{3}{2}a \\ 0 \end{pmatrix} = -\frac{2\pi}{3\sqrt{3}a} \begin{pmatrix} \sqrt{3} \\ 3 \\ 0 \end{pmatrix}$$

$$\vec{v}_3 \times \vec{v}_1 = \begin{vmatrix} \hat{i} & \hat{j} & \hat{k} \\ 0 & 0 & 1 \\ \frac{3}{2}a & \frac{\sqrt{3}}{2}a & 0 \end{vmatrix} = \frac{3}{2}a \hat{j} + \frac{\sqrt{3}}{2}a \hat{i}$$

$$\vec{b}_2 = \frac{4\pi}{3\sqrt{3}a^2} \begin{pmatrix} -\frac{\sqrt{3}}{2}a \\ \frac{3}{2}a \\ 0 \end{pmatrix} = \frac{2\pi}{3\sqrt{3}a^2} \begin{pmatrix} -\sqrt{3} \\ 3 \\ 0 \end{pmatrix} = -\frac{2\pi}{3\sqrt{3}a} \begin{pmatrix} \sqrt{3} \\ -3 \\ 0 \end{pmatrix}$$

\* Chcemy skonstruować hamiltonian w postaci  $\text{II}$  kwanty zacji w tym celu postępujemy się operatorem pola:

$$\hat{\Psi}_\sigma = \underbrace{\sum_k \psi_k(\vec{r}) c_{k\sigma}}_{\text{anihilacja pełnej bazy}} = \underbrace{\hat{\Psi}_\sigma^A(\vec{r}) + \hat{\Psi}_\sigma^B(\vec{r})}_{\text{operatory pola dla podsięci}}$$

Ze Pny czym stosujemy przybliżenie cięsnego wiązania, tj. możliwe jest przekazywanie się ~~do~~ orbitali tylko dla najbliższych sąsiadów, czyli

$$\hat{\Psi}_\sigma(\vec{r}) = \hat{\Psi}_\sigma^A(\vec{r}) + \hat{\Psi}_\sigma^B(\vec{r}) = \sum_{k \in A} \varphi_k^A(\vec{r}) a_{k\sigma} + \sum_{k \in B} \varphi_k^B(\vec{r}) b_{k\sigma}$$

↑ zlokalizowane funkcje falowe ↑

Zatem nasz hamiltonian możemy zapisać w  $\text{II}$  kwanty zacji w następujący sposób:

$$\begin{aligned} \hat{H} &= \sum_\sigma \int d^3r \hat{\Psi}_\sigma^\dagger(\vec{r}) \hat{H} \hat{\Psi}_\sigma(\vec{r}) = \sum_\sigma \left[ \int d^3r \hat{\Psi}_\sigma^{A\dagger}(\vec{r}) \hat{H} \hat{\Psi}_\sigma^A(\vec{r}) + \right. \\ &+ \left. \int d^3r \hat{\Psi}_\sigma^{B\dagger}(\vec{r}) \hat{H} \hat{\Psi}_\sigma^B(\vec{r}) + \int d^3r \hat{\Psi}_\sigma^{A\dagger}(\vec{r}) \hat{H} \hat{\Psi}_\sigma^B(\vec{r}) + \int d^3r \hat{\Psi}_\sigma^{B\dagger}(\vec{r}) \hat{H} \hat{\Psi}_\sigma^A(\vec{r}) \right] = \\ &= \hat{H}_{AA} + \hat{H}_{BB} + \hat{H}_{AB} + \hat{H}_{BA} \end{aligned}$$

~~Ważny~~ Wykorzystamy teraz funkcje Wanniera jako wygodny wybór zlokalizowanej bazy funkcji falowych:

$$\int_{\text{krystal}} d^3r \phi_i^*(\vec{r}) \phi_j(\vec{r}) = \delta_{ij} \quad , \quad \text{gdzie } \phi_i(\vec{r}) - \text{funkcje Wanniera}$$

$$\begin{cases} \phi_i(\vec{r}) = \frac{1}{\sqrt{N}} \sum_{\vec{k}} e^{-i\vec{k}\cdot\vec{R}_i} \psi_{\vec{k}}(\vec{r}) \\ \psi_{\vec{k}}(\vec{r}) = \frac{1}{\sqrt{N}} \sum_{\vec{R}_i} e^{i\vec{k}\cdot\vec{R}_i} \phi_i(\vec{r}) \end{cases}$$

$N$  - liczba węzłów  
 $\vec{R}_i$  - położenie  $i$ -tego węzła  
 $\psi_{\vec{k}}(\vec{r})$  - funkcje fobowe Blocha

Pamiętaj: Twierdzenie Blocha

Funkcje fobowe będące rozwiązaniami równania Schrödingera dla hamiltonianu  $\hat{H}$ :

$$\hat{H} = \frac{\hat{p}^2}{2m} + V(\vec{r}),$$

gdzie  $V(\vec{r})$  jest potencjałem periodycznym są postaci:

$$\psi_{\vec{k}}(\vec{r}) = u_{\vec{k}}(\vec{r}) e^{i\vec{k}\cdot\vec{r}}, \quad \text{gdzie } u_{\vec{k}}(\vec{r}) = u_{\vec{k}}(\vec{r} + \vec{R}_n)$$

$\vec{R}_n$  - wektor sieci.

Hamiltonian w reprezentacji  $\Pi$  kwantowej:

$$\int d^3r \psi^\dagger(\vec{r}) \hat{H} \psi(\vec{r}) = \sum_{i,j \in A} \int d^3r \phi_i^*(\vec{r}) \hat{H} \phi_j(\vec{r}) a_i^\dagger a_j +$$

$$+ \sum_{i,j \in B} \int d^3r \phi_i^*(\vec{r}) \hat{H} \phi_j(\vec{r}) b_i^\dagger b_j +$$

$$+ \sum_{\substack{i \in A \\ j \in B}} \int d^3r \phi_i^*(\vec{r}) \hat{H} \phi_j(\vec{r}) (a_i^\dagger b_j +$$

$$+ \sum_{\substack{i \in A \\ j \in B}} \int d^3r \phi_i^*(\vec{r}) \hat{H} \phi_j(\vec{r}) b_i^\dagger a_j =$$

uproszczenie użycie  
brazera f. Wanniera  
są zlokalizowane



$$\approx \sum_{i \in A} \epsilon_A a_i^\dagger a_i + \sum_{j \in B} \epsilon_B b_j^\dagger b_j + \sum_{\substack{i \in B \\ \langle ij \rangle}} (t_{ij} a_i^\dagger b_j + t_{ji} b_i^\dagger a_j)$$

Przechodimy do przestrzeni odwrotnej wykonyując funkcje Blocha:

$$\begin{cases} \hat{\psi}_A(\vec{r}) = \sum_{i \in A} \frac{1}{\sqrt{N}} \sum_{\vec{k}} e^{-i\vec{k} \cdot \vec{R}_i} \psi_{\vec{k}}(\vec{r}) a_{\vec{k}} \\ \hat{\psi}_B(\vec{r}) = \sum_{i \in B} \frac{1}{\sqrt{N}} \sum_{\vec{k}} e^{-i\vec{k} \cdot \vec{R}_i} \psi_{\vec{k}}(\vec{r}) b_{\vec{k}} \end{cases}$$

$$\hat{H}_{AA} = \sum_{i \in A} \frac{1}{N} \sum_{\vec{k}, \vec{k}'} e^{i(\vec{k} - \vec{k}') \cdot \vec{R}_i} \int d^3r \psi_{\vec{k}}^*(\vec{r}) \hat{H} \psi_{\vec{k}'}(\vec{r}) a_{\vec{k}}^\dagger a_{\vec{k}'} =$$

tylko jedna  
suma, bo homologowy  
= przybliżenie idealnego  
wiązania

$$= \sum_{\vec{k}, \vec{k}'} \delta_{\vec{k}, \vec{k}'} \int d^3r \psi_{\vec{k}}^*(\vec{r}) \hat{H} \psi_{\vec{k}'}(\vec{r}) a_{\vec{k}}^\dagger a_{\vec{k}'} = \sum_{\vec{k}} \epsilon_{\vec{k}} a_{\vec{k}}^\dagger a_{\vec{k}}$$

Analogicznie:

$$\hat{H}_{BB} = \sum_{\vec{k}} \epsilon_{\vec{k}} b_{\vec{k}}^\dagger b_{\vec{k}}$$

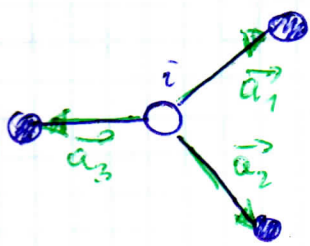
$$\hat{H}_{AB} = \sum_{i \in A} \frac{1}{N} \sum_{\langle j \rangle \in B} e^{i\vec{k} \cdot \vec{R}_i^A} e^{-i\vec{k}' \cdot \vec{R}_j^B} \int d^3r \psi_{\vec{k}}^*(\vec{r}) \hat{H} \psi_{\vec{k}'}(\vec{r}) a_{\vec{k}}^\dagger b_{\vec{k}'} =$$

~~$$= \sum_{i \in A} \frac{1}{N} \sum_{\langle j \rangle \in B} e^{i\vec{k} \cdot \vec{R}_i^A} e^{-i\vec{k}' \cdot \vec{R}_j^B} \int d^3r \psi_{\vec{k}}^*(\vec{r}) \hat{H} \psi_{\vec{k}'}(\vec{r}) a_{\vec{k}}^\dagger b_{\vec{k}'} =$$~~

$$= \sum_{i \in A} \frac{1}{N} \sum_{\langle j \rangle \in B} e^{i(\vec{k} - \vec{k}') \cdot \vec{R}_i^A} e^{-i(\vec{R}_j^B - \vec{R}_i^A) \cdot \vec{k}'} \int d^3r \psi_{\vec{k}}^*(\vec{r}) \hat{H} \psi_{\vec{k}'}(\vec{r}) a_{\vec{k}}^\dagger b_{\vec{k}'} =$$

$$= \sum_{\langle j \rangle} \sum_{\vec{k}} e^{i\vec{k}(\vec{R}_i^A - \vec{R}_j^B)} \int d^3r \psi_{\vec{k}}^*(\vec{r}) \hat{H} \psi_{\vec{k}}(\vec{r}) a_{\vec{k}}^\dagger b_{\vec{k}} =$$

$$= \sum_{\vec{k}} \sum_{\langle ij \rangle} e^{i\vec{k} \cdot (\vec{R}_i^A - \vec{R}_j^B)} t_{\vec{k}} a_{\vec{k}}^{\dagger} b_{\vec{k}}$$



$$\vec{a}_1 = \left( \frac{a}{2}, \frac{\sqrt{3}}{2} a, 0 \right)$$

$$\vec{a}_2 = \left( \frac{a}{2}, -\frac{\sqrt{3}}{2} a, 0 \right)$$

$$\vec{a}_3 = (-a, 0, 0)$$

zatem

$$\hat{H}_{AB} = \sum_{\vec{k}} \sum_{\langle ij \rangle} e^{i\vec{k} \cdot (\vec{R}_i^A - \vec{R}_j^B)} t_{\vec{k}} a_{\vec{k}}^{\dagger} b_{\vec{k}} =$$

$$= \sum_{\vec{k}} e^{ik_x a} \left[ 1 + 2e^{-i\frac{3}{2}k_x a} \cos\left(\frac{\sqrt{3}}{2}k_y a\right) \right] t_{\vec{k}} a_{\vec{k}}^{\dagger} b_{\vec{k}},$$

analogicznie dla  $\hat{H}_{BA}$ .  
więc

$$\hat{H}_{\vec{k}} = \begin{pmatrix} a_{\vec{k}}^{\dagger} & b_{\vec{k}}^{\dagger} \end{pmatrix} \begin{pmatrix} \epsilon_{\vec{k}} & V_{\vec{k}} \\ V_{\vec{k}}^* & \epsilon_{\vec{k}} \end{pmatrix} \begin{pmatrix} a_{\vec{k}} \\ b_{\vec{k}} \end{pmatrix},$$

gdzie  $V_{\vec{k}} = t_{\vec{k}} e^{ik_x a} \left[ 1 + 2e^{-i\frac{3}{2}k_x a} \cos\left(\frac{\sqrt{3}}{2}k_y a\right) \right]$

Jeżeli zdiagnozujemy tą formę kwadratową dostaniemy wartości własne dla każdego  $\vec{k}$ , co czyli pasmo energetyczne.

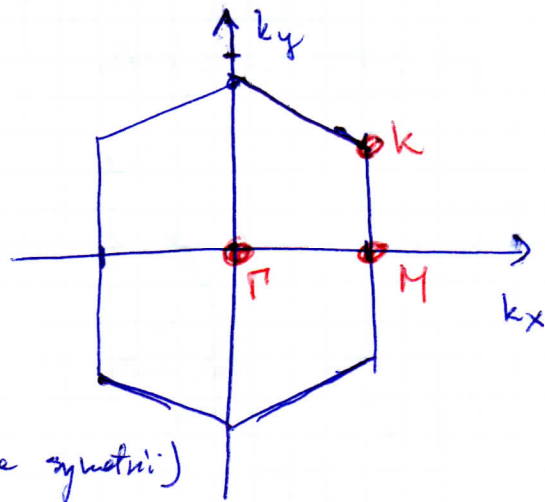
$$(\epsilon_{\vec{k}} - \lambda)^2 - |V_{\vec{k}}|^2 = 0 \Rightarrow \epsilon_{\vec{k}}^2 - 2\lambda \epsilon_{\vec{k}} - \lambda^2 - |V_{\vec{k}}|^2 = 0$$

$$\Rightarrow \epsilon_{\pm}(\vec{k}) = \epsilon_{\vec{k}} \pm |V_{\vec{k}}|$$

Pierwa energetyczna:

$$\Delta \epsilon_{\pm}(\vec{k}) = 2|V_{\vec{k}}|, \text{ bo } \epsilon_{\pm}(\vec{k}) = \epsilon_{\vec{k}} \pm \left| \left( 1 + 2e^{-i\frac{3}{2}k_x a} \cos\left(\frac{\sqrt{3}}{2}k_y a\right) \right) t_{\vec{k}} \right|$$

Heksagonalna sieć Brilloina posiada 3 punkty o podwyższonej symetrii, które odzwierciedlają symetrię grafenu.



$\vec{\Gamma} = (0, 0, 0)$  - identyczności (symetria odbicia względem środka symetrii)

$\vec{M} = \frac{2\pi}{\Omega_0} \left( \frac{\sqrt{3}}{2} a, 0, 0 \right) = \frac{2\pi}{3a} (1, 0, 0)$  - symetria zwierciadłowa

$\vec{K} = \frac{2\pi}{\Omega_0} \left( \frac{\sqrt{3}}{2} a, \frac{a}{2}, 0 \right) = \frac{2\pi}{\sqrt{3} a^2} \left( \frac{\sqrt{3}}{2} a, \frac{a}{2}, 0 \right) = \frac{2\pi}{3a} \left( 1, \frac{\sqrt{3}}{3}, 0 \right)$  - obrot  $60^\circ$

K jest najciekawszy m. punktem w strefie Brillouina, bo:

$$V_{\vec{k}}(\vec{K}) = \left| \left( 1 + 2 \underbrace{e^{-i \frac{\sqrt{3}}{2} a \frac{2\pi}{3a}}}_{-1} \cos \left( \frac{\sqrt{3}}{2} a \frac{2\pi}{3\sqrt{3}a} \right) \right) t_{\vec{k}} \right| = 0$$

$\underbrace{\hspace{10em}}_{\frac{1}{2}}$

w punkcie K zniha pierwsza energia, tj.  $\epsilon_+(\vec{k}) = \epsilon_-(\vec{k})$

co więcej:

$$\epsilon_{\pm}(\vec{k}) = \epsilon_{\pm}(\vec{k} + \vec{\Gamma}) = \cancel{\epsilon_{\pm}(\vec{k})}$$

$$= \pm |t_{\vec{k}}| \sqrt{\left( 3 + 2 \cos \left[ \sqrt{3} \left( \frac{4\pi}{3\sqrt{3}a} + q_x \right) a \right] + 4 \cos \left[ \frac{\sqrt{3}}{2} \left( \frac{4\pi}{3\sqrt{3}a} \right) a \right] \cos \left[ \frac{3}{2} q_y a \right] \right)} =$$

$$\approx \pm \frac{3}{2} |t| a \sqrt{q_x^2 + q_y^2} + \mathcal{O}(q^2) = \pm \frac{3}{2} |t_{\vec{k}}| a q + \mathcal{O}(q^2)$$

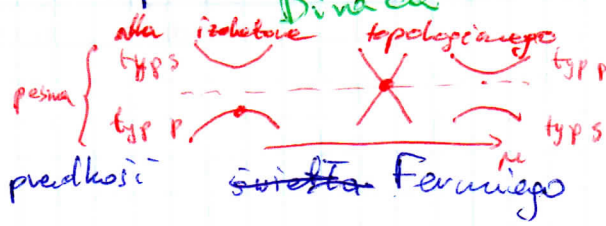
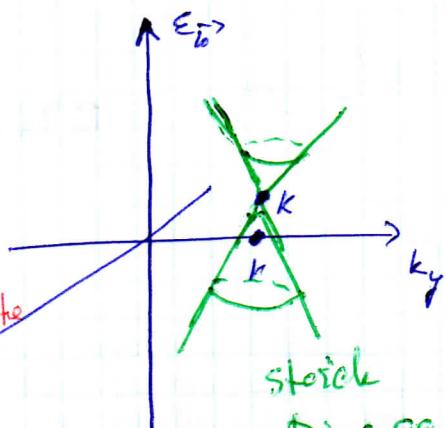
↑ dla małych  $\vec{q}$

zatem w pobliżu punktu  $k$  dostajemy stożek\*  
(tzw. stożek Diraca).

Zapisując hamiltonian  
w pobliżu punktu  $k$   
dostajemy:

$$\hat{H}(\vec{k}) = \frac{3}{2} \frac{\hbar v_F}{a} \begin{pmatrix} 0 & q_x - i q_y \\ q_x + i q_y & 0 \end{pmatrix} + \mathcal{O}(q^2) =$$

$$\approx \frac{3}{2} \frac{\hbar v_F}{a} (q_x \sigma_x + q_y \sigma_y) = v_F \vec{q} \cdot \vec{\sigma}$$



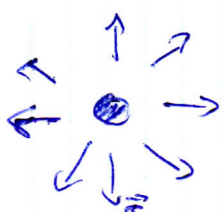
cykli fermionów te spełniają równanie Weyla

$$i \hbar \partial_t \psi = \hbar \begin{pmatrix} 0 & v_F \vec{q} \cdot \vec{\sigma} \\ v_F \vec{q} \cdot \vec{\sigma} & 0 \end{pmatrix} \psi$$

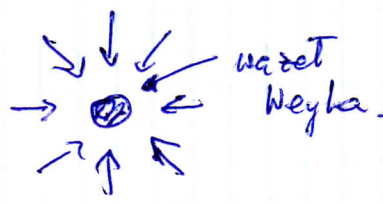
elektrony propagujące się w grafenie  
w pobliżu stożka Dirack  $\vec{k}$  zachowują się  
jak bezmasowe, "relatywistyczne" fermiony  
Weyla o spinie  $1/2$ .

$$\hat{H} = \hbar v_F \vec{p} \cdot \vec{\sigma} = \hbar \text{sgn}(v_F) |\vec{p}| \frac{\vec{p} \cdot \vec{\sigma}}{|\vec{p}| \cdot |\vec{\sigma}|}$$

$\hat{\sigma}$  - operator  
chiralności



$$\hat{H} = \hbar v_F \vec{p} \cdot \vec{\sigma}$$



$$\hat{H} = -\hbar v_F \vec{p} \cdot \vec{\sigma}$$